## 膜-吸附生物反应器处理东江水的中试研究

韩正双1,田家宇1,陈 杰2,李 凯1,朱春伟2,李圭白1

(1. 哈尔滨工业大学 城市水资源与水环境国家重点实验室, 150090 哈尔滨, hit08hzs@163.com; 2. 苏州立升膜分离科技有限公司, 215152 江苏 苏州)

摘 要:针对东江原水,以混凝沉淀作为预处理,采用中试试验,通过与传统砂滤及单独超滤工艺对比,研究膜-吸附生物反应器(MABR)的除污染效能,并考察 MABR 的膜污染情况.结果表明:MABR 对沉后水中有机物的去除能力明显优于传统砂滤和单独超滤,对  $COD_{Mn}$  和  $UV_{254}$  的平均去除率分别达 72.4% 和 89.1%;系统启动完成后,MABR 对沉后水中的  $NH_3$ -N 和  $NO_2$ -N 也表现出良好的去除效能,出水  $NH_3$ -N 和  $NO_2$ -N 质量浓度分别稳定在 0.2 和 0.05 mg/L 以下. MABR 在连续曝气(强度为 12.5 m $^3$ /( $m^2$ ·h),以膜池底面积计算)、20 L/( $m^2$ ·h)通量、每 8 h 反冲洗 5 min 的模式下运行时,膜污染较为严重,跨膜压差平均增长速率为 0.51 kPa/d,需进一步优化相关参数以减缓膜污染,缩短化学清洗周期.

关键词:混凝沉淀;膜-吸附生物反应器;砂滤;超滤;除污;膜污染

中图分类号: TU991. 2 文献标志码: A 文章编号: 0367-6234(2012)02-0033-05

# Pilot-scale study on membrane adsorption bioreactor (MABR) for treating Dong River water

HAN Zheng-shuang<sup>1</sup>, TIAN Jia-yu<sup>1</sup>, CHEN Jie<sup>2</sup>, LI Kai<sup>1</sup>, ZHU Chun-wei<sup>2</sup>, LI Gui-bai<sup>1</sup>

(1. State Key Laboratory of Urban Water Resource and Environment, Harbin Institute of Technology, 150090 Harbin, China, hit08hzs@163.com; 2. Suzhou Litree Ultra-filtration Membrane Technology Co. Ltd., 215152 Suzhou, Jiangsu, China)

**Abstract:** A pilot-scale membrane adsorption bioreactor (MABR) was carried out for the drinking water treatment from Dong River water with coagulation-sedimentation as pre-treatment. During the experiments, the MABR exhibited much higher capacity for organic matter removal as compared with the conventional sand-filtration and ultra-filtration alone, with the average removal efficiencies of 72.4% and 89.1% for  $COD_{Mn}$  and  $UV_{254}$ , respectively. During the stable operation period after start-up, the MABR also achieved excellent removal for the influent  $NH_3$ -N and  $NO_2^-$ -N, the effluent concentrations were maintained below 0.2 mg/L and 0.05 mg/L, respectively. In the investigation, the membrane in MABR was operated under the conditions of constant flux (20 L/(m²·h)), continuous aeration (12.5 m³/(m²·h), calculated based on the bottom area of the membrane tank), and backwashing for 5 min after every 8 h of filtration. Under these conditions, obvious membrane fouling was observed for the membrane, with the average trans-membrane pressure development rate of 0.51 kPa/d. To mitigate membrane fouling and to decrease the chemical cleaning time, it is required to further optimize relevant operating parameters of the membrane in MABR.

**Key words:** coagulation-sedimentation; membrane adsorption bioreactor; sand-filtration; ultra-filtration; pollutants removal; membrane fouling

收稿日期: 2011 - 02 - 10.

基金项目: 国家水体污染控制与治理科技重大专项项目 (2008ZX07423-002-4);城市水资源与水环境国家重点实验室(哈尔滨工业大学)自主课题(2010DX01);中国博士后科学基金特别资助项目(201104442);黑龙江省博士后资助经费项目(LBH-Z10129).

作者简介: 韩正双(1985—),男,博士研究生;

李圭白(1931一),男,博士生导师,中国工程院院士.

随着《生活饮用水卫生标准》(GB 5749—2006)的实施,对于东江这类季节性有机物和氨氮质量浓度较高的微污染水源,传统的混凝—沉淀—过滤—氯消毒净水工艺难以有效保障出厂水合格达标.以东江水为水源的东莞市多数水厂对

净水工艺的升级改造需求十分迫切<sup>[1]</sup>. 膜生物反应器(Membrane bio-reactor, MBR) 技术是生物处理和膜技术的有机结合,具有除污染效率高、出水水质好且稳定等优点. 大量研究表明, MBR 能有效去除微污染水源水中的有机物和氨氮<sup>[2-6]</sup>,但是膜污染的控制和膜清洗问题仍然是 MBR 技术广泛推广应用的一个瓶颈<sup>[7]</sup>. 将混凝沉淀作为MBR 的预处理工艺可有效去除水中的颗粒物、胶体和大分子天然有机物<sup>[8]</sup>,进而减轻后续 MBR单元的膜污染. 此外,在 MBR 中投加粉末炭(Powdered activated carbon, PAC)构成膜-吸附生物反应器(membrane adsorption bioreactor, MABR),可有效增强系统的除污染效能,提高反应器内的生物活性,同时减缓膜污染<sup>[9-11]</sup>,但是

目前仍缺乏相关的中试及生产性试验报道.

考虑到我国南方地区大部分时间水温较高, 膜生物反应器技术具有较强的适用性,针对东江水质特点,以水厂实际混凝沉淀作为预处理,在中试试验的基础上考察 MABR 处理东江水的除污染效能及膜污染特性,以期为东莞市水厂净水工艺的升级改造提供技术参考.

### 1 试验

#### 1.1 原水水质

试验原水取自东江东莞段,由于上游生活污水和工业废水的排放,水质受到一定程度的污染,试验期间原水的主要水质指标见表1.

表1 原水水质

指标	<u>水温</u> ℃	<u>浊度</u> NTU	<u>色度</u> 铂钴色度单位	$\frac{\mathrm{COD}_{\mathrm{Mn}}}{\mathrm{mg} \cdot \mathrm{L}^{-1}}$	$\frac{\mathrm{UV}_{254}}{\mathrm{cm}^{-1}}$	<u>ρ(</u> 氨氮) mg・L <sup>-1</sup>
均值或范围	20. 8 ~ 28. 5	8. 95 ~ 34. 50	< 15	2. 93 ~ 4. 97	0. 033 ~ 0. 054	0.03 ~ 1.09

#### 1.2 试验装置

东江原水经水厂传统工艺(高锰酸盐预氧化一混凝一沉淀)处理后,由设置于沉淀池集水槽内的潜水泵泵入膜-吸附生物反应器进行处理.相应的系统示意图见图 1.

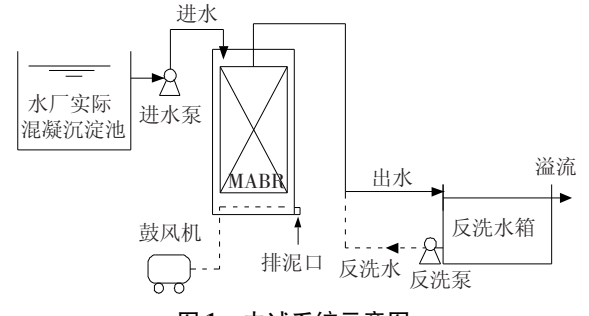


图 1 中试系统示意图

中试系统位于东莞市东城水厂 3 期工程的 2 号沉淀池旁,高 3.3 m,长 1.2 m,宽 0.6 m. 装置底部设置有穿孔曝气管,通过鼓风机对系统进行曝气.中试系统内安装有一组帘式中空纤维超滤膜组件,由海南立升净水科技实业有限公司提供,膜材质为 PVC 合金,有效面积为 9 m²,孔径为 0.02 μm.

#### 1.3 试验方法和运行方式

中试系统启动时向膜池内加入 5 g/L 的 PAC,以 12.5 m³/(m²·h)(以膜滤池底面积计算)的强度进行连续曝气,同时以 20 L/(m²·h)通量连续虹吸出水.每 8 h 对系统进行时长为 5 min 的反冲洗,水洗通量为 90 L/(m²·h),水洗时将曝气强度

提高至  $15 \text{ m}^3/(\text{m}^2 \cdot \text{h})$ (以膜池底面积计算). 系统 启动之后的前 4 天不排泥也不投加粉末炭,第 5 天 开始每天排放占膜池有效体积 5% 的混合液,同时 投入 540 g 的 PAC,使膜池中的 PAC 质量浓度始终 维持在 5 g/L,SRT 为 20 d.

此外,水厂内还另设有一套中试规模的浸没式超滤系统,所用超滤膜与本试验中的超滤膜孔径和材质均相同.为了探讨 MABR 相对于单独超滤和传统砂滤工艺的除污染优势,试验期间每天对水厂沉后水、砂滤出水、超滤出水和 MABR 出水的相关指标进行检测并比较.

#### 1.4 检测指标和方法

 $COD_{Mn}$ : 酸性高锰酸钾滴定法;  $UV_{254}$ : 752N 紫外可见光光度计;  $NH_3$ -N: 纳氏试剂分光光度法;  $NO_2^-$ -N: 重氮偶合分光光度法.

## 2 结果与讨论

#### 2.1 MABR 的除污染效能

#### 2. 1. 1 COD<sub>Mn</sub>

试验期间,水厂沉后水、砂滤出水、超滤出水和 MABR 出水中 COD<sub>Mn</sub>的对比如图 2 所示.可以看出,试验期间水厂沉后水中 COD<sub>Mn</sub>在 1.62~4.37 mg/L.砂滤和超滤对沉后水中 COD<sub>Mn</sub>均有一定程度的去除作用,去除率分别在 15.4%~51.8%和 12.1%~45.1%,平均去除率分别为 29.9%和 22.9%;而 MABR 对沉后水中 COD<sub>Mn</sub>的去除效果明显优于砂滤和单独超滤,其去除率在

55.6%  $\sim$ 82.1%,平均去除率高达 72.4%,而且出水中的  $COD_{Mn}$  值几乎不随沉后水水质(即 MABR 进水)的波动发生变化,均稳定在1.0 mg/L以下. MABR 对沉后水中  $COD_{Mn}$  的高效去除可能是粉末炭吸附和生物降解共同作用的结果.

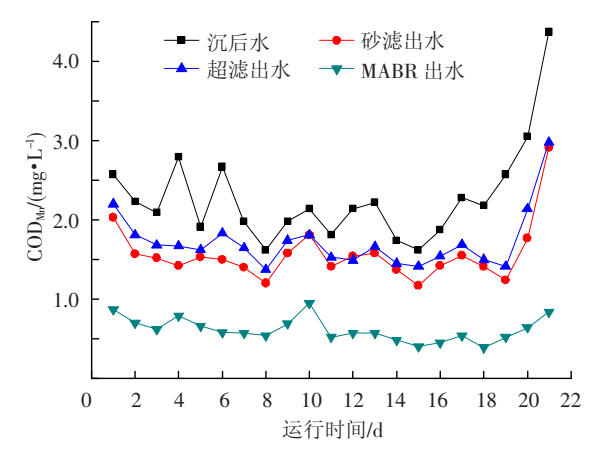


图 2 MABR 与砂滤、超滤对 COD<sub>Mn</sub>去除情况比较

#### 2. 1. 2 UV<sub>254</sub>

 $UV_{254}$ 通常用于表征水中含有不饱和键如苯环或共轭双键的有机化合物. 有研究表明,  $UV_{254}$ 与三卤甲烷等消毒副产物的生成势具有较强的相关性 $^{[12]}$ ,因此,去除水中的  $UV_{254}$ 对于保障饮用水安全、提高供水水质至关重要. 试验期间,不同工艺对  $UV_{254}$ 的去除情况见图 3.

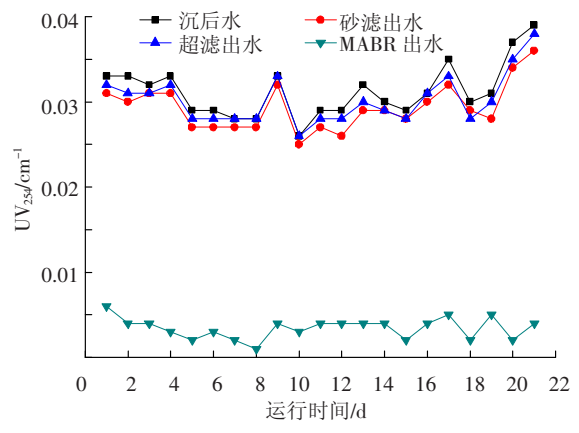


图 3 MABR 与砂滤、超滤对 UV254 去除情况比较

由图 3 可以看出,试验期间沉后水中  $UV_{254}$ 在 0.026 ~ 0.039 cm  $^{-1}$ ,平均为 0.031 cm  $^{-1}$ . 砂滤和超滤对沉后水中  $UV_{254}$ 的去除能力有限,砂滤仅能使沉后水中的  $UV_{254}$ 降低 0.001 ~ 0.003 cm  $^{-1}$ ,平均去除率为 6.0%;超滤仅能使沉后水中的  $UV_{254}$ 降低 0~0.002 cm  $^{-1}$ ,平均去除率为 3.1%;相比之下,MABR 对水中的  $UV_{254}$ 具有优良的去除效果,试验期间,MABR 出水中  $UV_{254}$ 一直稳定在 0.01 cm  $^{-1}$ 以下,平均去除率高达 89.1%.

MABR 中粉末炭吸附、生物降解以及微孔截

留等作用的协同使得出水中的 UV<sub>254</sub>一直保持在 较低水平,这就使得后续消毒过程中产生的消毒 副产物大大降低,从而有效提高了饮用水的化学 安全性.

#### 2. 1. 3 NH<sub>3</sub>-N

由于上游生活污水和工业废水的不定期排放,东城水厂的水源水中经常出现短时 NH<sub>3</sub>-N 质量浓度过高的情况,常规工艺难以使出厂水中的 NH<sub>3</sub>-N 达标. 试验期间, MABR 与砂滤、超滤工艺对水中 NH<sub>3</sub>-N 的去除效能见图 4.

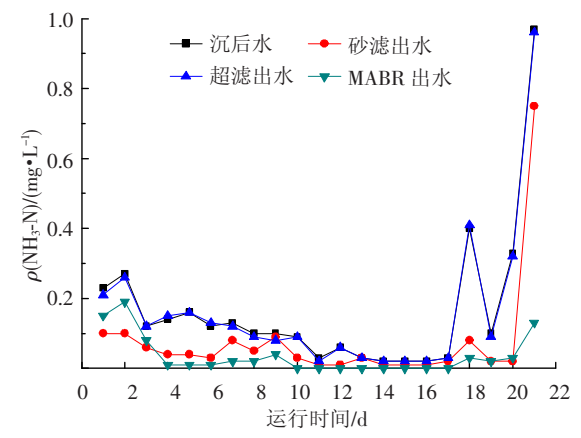


图 4 MABR 与砂滤、超滤对 NH3-N 去除情况比较

由图 4 可知,试验期间沉后水中的 NH<sub>3</sub>-N 质量浓度波动较大,水厂砂滤池对沉后水中的 NH<sub>3</sub>-N 表现出一定的去除作用,这可能是由于在长期的运行中,石英砂滤料表面负载了少量生物膜的缘故;但其去除水中 NH<sub>3</sub>-N 的能力十分有限,当沉后水 NH<sub>3</sub>-N 质量浓度为 0. 97 mg/L 时,砂滤出水中的质量浓度也高达 0. 75 mg/L,超出《生活饮用水卫生标准》GB 5749—2006 的限值. 而超滤对沉后水中的 NH<sub>3</sub>-N 几乎没有去除效果,这主要是因为 NH<sub>3</sub>-N 的尺寸远远低于超滤膜孔径,超滤无法对其进行有效截留.

对比 MABR 与砂滤对  $NH_3$ -N 的去除情况可以看出, MABR 启动较快, 启动之后的第 4 天, 其对  $NH_3$ -N 的去除能力即已超过砂滤池. 后续运行中, MABR 出水中的  $NH_3$ -N 质量浓度一直维持在  $0.2 \, \text{mg/L}$  以下, 受沉后水(即 MABR 进水)中  $NH_3$ -N 质量浓度的影响不大.

应当指出,MABR 在短期内就能取得良好的NH<sub>3</sub>-N 去除效果可能有多方面因素:首先,试验期间水温适宜,细菌繁殖速度快,活性较高;其次,MABR 内高浓度的粉末炭可以为生物膜的生长提供足够的载体;再次,本试验中由于设备原因,MABR 内装填的膜面积相当小,造成水力停留时间较长,系统对原水水质波动具有较强的调节能

力. 因此, MABR 是否在其他情况下也能实现快速 启动并获得良好的 NH<sub>3</sub>-N 去除效能, 仍需要进一 步的试验验证.

#### 2. 1. 4 $NO_2^-$ -N

试验期间,MABR 与砂滤、超滤工艺对水中 $NO_2^-$ -N 的去除情况如图 5 所示.可以看出,超滤对沉后水中的 $NO_2^-$ -N 几乎没有去除效果,而砂滤对水中的 $NO_2^-$ -N 却有很好的去除作用,出水中的 $NO_2^-$ -N 质量浓度均维持在 0. 02 mg/L 以下. 中试系统启动后,MABR 出水中的 $NO_2^-$ -N 质量浓度呈现先升高后降低的趋势,这主要是因为反应器内负责氧化 $NO_2^-$ -N 的硝酸化细菌世代时间较长,造成其成熟过程滞后于负责氧化  $NH_3$ -N 的亚硝酸化细菌. 自启动运行后的第 10 天开始,出水中的 $NO_2^-$ -N 质量浓度一直稳定在 0. 05 mg/L 以下.

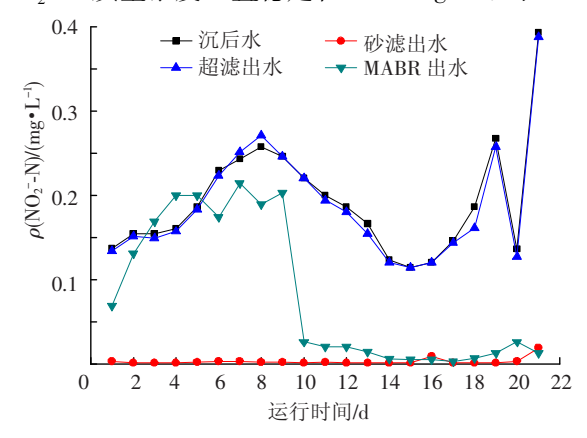


图 5 MABR 与砂滤、超滤对NO; -N 去除情况比较

#### 2.2 MABR 的膜污染情况

试验期间, MABR 跨膜压差和水温的变化趋势如图 6 所示. 可以看出, 在以 12.5 m³/(m²·h) (以膜滤池底面积计算)强度下连续曝气、通量为20 L/(m²·h)、每 8 h 反冲洗 5 min(反洗通量为90 L/(m²·h))的运行模式下, MABR 前 4 天(96 h)的跨膜压差几乎不增长, 反冲洗可以有效恢复膜的渗透性. 但是从第 5 天开始, 系统的跨膜压差则表现出逐渐上升的趋势. 从第 5 天(96 h)至第 17 天(408 h), MABR 的跨膜压差平均每天增长0.51 kPa(以反冲洗后初始运行的跨膜压差计算). 这可能是因为随着运行时间的延长, 系统内的颗粒物和有机物逐渐增多,同时,微生物代谢产生的胞外聚合物也在系统内积存, 从而对膜产生了不可逆污染.

同时还可以看出, MABR 的跨膜压差受水温的影响较为显著,运行末期水温下降后,系统跨膜压差由第 17 天的 16.65 kPa 急剧上升至第 20 天的 20.3 kPa, 平均每天增长 1.22 kPa.

总体而言, MABR 在连续曝气、通量为20 L/(m²·h)、每8 h 反冲洗5 min 的模式下运行时,膜污染情况比较严重,跨膜压差平均增长速率为0.51 kPa/d. 为满足工程化应用的需求,需进一步优化相关的运行参数(如膜通量、反洗周期、曝气量等)以减缓膜的污染,缩短化学清洗周期,实现 MABR 的长期稳定运行.

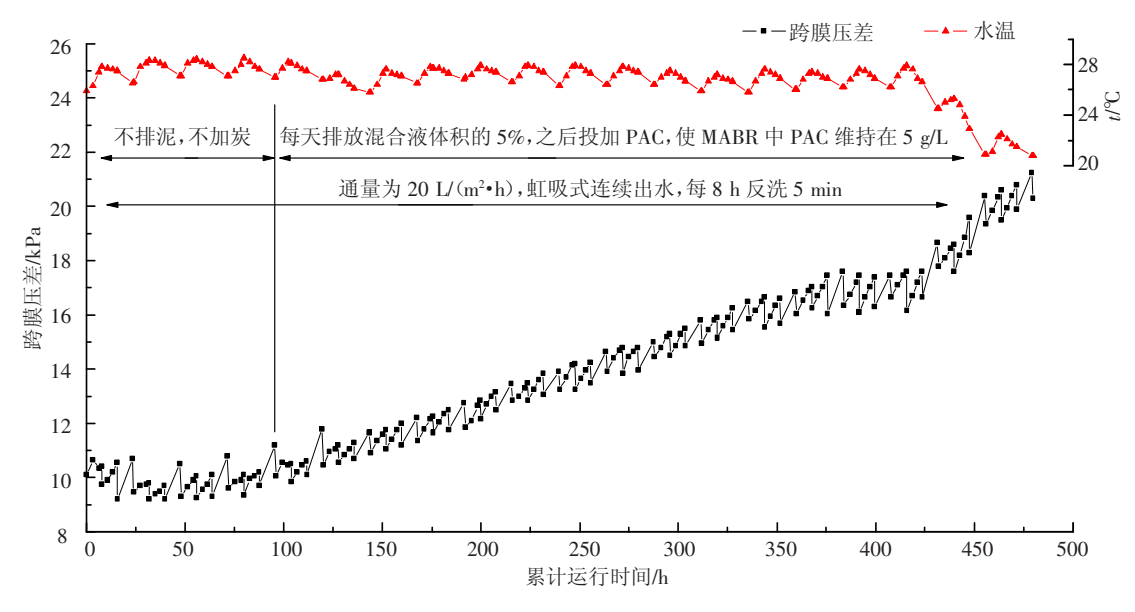


图 6 MABR 跨膜压差和水温变化

## 3 结 论

1) MABR 能有效去除沉后水中的 COD<sub>Mn</sub>,平

均去除率为 72.4%, 出水  $COD_{Mn}$  低于 1.0 mg/L. 同时对水中的  $UV_{254}$  具有很好的去除效果, 出水  $UV_{254}$  稳定在 0.01 cm<sup>-1</sup> 以下, 平均去除率为

- 89.1%,明显优于传统砂滤和单独超滤.
- 2)本试验条件下, MABR 启动后经过 4 d 的 运行就能达到良好的  $NH_3$ -N 去除效果, 出水  $NH_3$ -N 稳定在  $0.2 \, mg/L$  以下, 优于同期砂滤和单独超滤的情况; 启动后第  $10 \, {\rm 天开始}$ , MABR 对沉后水中的 $NO_2^-$ -N 可达到稳定的去除效果, 出水 $NO_2^-$ -N 质量浓度一直稳定在  $0.05 \, mg/L$  以下.
- 3)在连续曝气、20 L/(m²·h)通量、每8 h 反冲洗5 min 的模式下运行时,MABR 的膜污染较为严重,需进一步优化各运行参数,以达到长期稳定运行的目的.

## 参考文献:

- [1] 张艳,李圭白,陈杰.采用浸没式超滤膜技术处理东 江水的中试研究[J].中国环境科学,2009,29(1): 6-10.
- [2] 郝爱玲,陈永玲,顾平. 膜生物反应器去除原水中微量苯酚的研究[J]. 中国给水排水,2006,22(5):102-105.
- [3] LI Xiao-yan, CHU Hiuping. Membrane bioreactor for the drinking water treatment of polluted surface water supplies[J]. Water Research, 2003, 37(19):4781 – 4791.
- [4] TIAN Jia-yu, LIANG Heng, NAN Jun, et al. Submerged membrane bioreactor (sMBR) for the treatment of contaminated raw water [J]. Chemical Engineering Journal, 2009, 148(2/3): 296-305.
- [5] WILLIAMS M D, PIRBAZARI M. Membrane bioreactor process for removing biodegradable organic matter from water[J]. Water Research, 2007, 41 (17):3880 – 3893.

- [6] RAVINDRAN V, TSAI H H, WILLIAMS M D, et al. Hybrid membrane bioreactor technology for small water treatment utilities: process evaluation and primordial considerations [J]. Journal of Membrane Science, 2009, 344(1/2): 39-54.
- [7] BOUHABILA E H, AÏM R B, BUISSON H. Fouling characterization in membrane bioreactors [J]. Separation and Purification Technology, 2001, 1 (22/23): 123 132.
- [8] MATILAINEN A, VEPSÄLÄINEN M, SILLANPÄÄ M. Natural organic matter removal by coagulation during drinking water treatment: a review [J]. Advances in Colloid and Interface Science, 2010, 159(2): 189 – 197.
- [9] TIAN Jiayu, LIANG Heng, YANG Yanling, et al. Membrane adsorption bioreactor (MABR) for treating slightly polluted surface water supplies: as compared to membrane bioreactor (MBR)[J]. Journal of Membrane Science, 2008, 325(1): 262-270.
- [10] GUO Wenshan, VIGNESWARAN S, NGO H H. Comparison of the performance of submerged membrane bioreactor (SMBR) and submerged membrane adsorption bioreactor (SMABR) [J]. Bioresource Technology, 2008, 99(5); 1012 1017.
- [11]田家宇,徐勇鵬,潘志辉,等. 膜吸附生物反应器 (MABR)用于饮用水去除有机物[J]. 哈尔滨工业大学学报,2010,42(10): 1568-1571.
- [12] EDZWALD J K, BECKER W C, WATTIER K L. Surrogate parameters for monitoring organic matter and THM precursors [J]. Journal of the American Water Works Association, 1985, 77(4):122-32.

(编辑 刘 形)